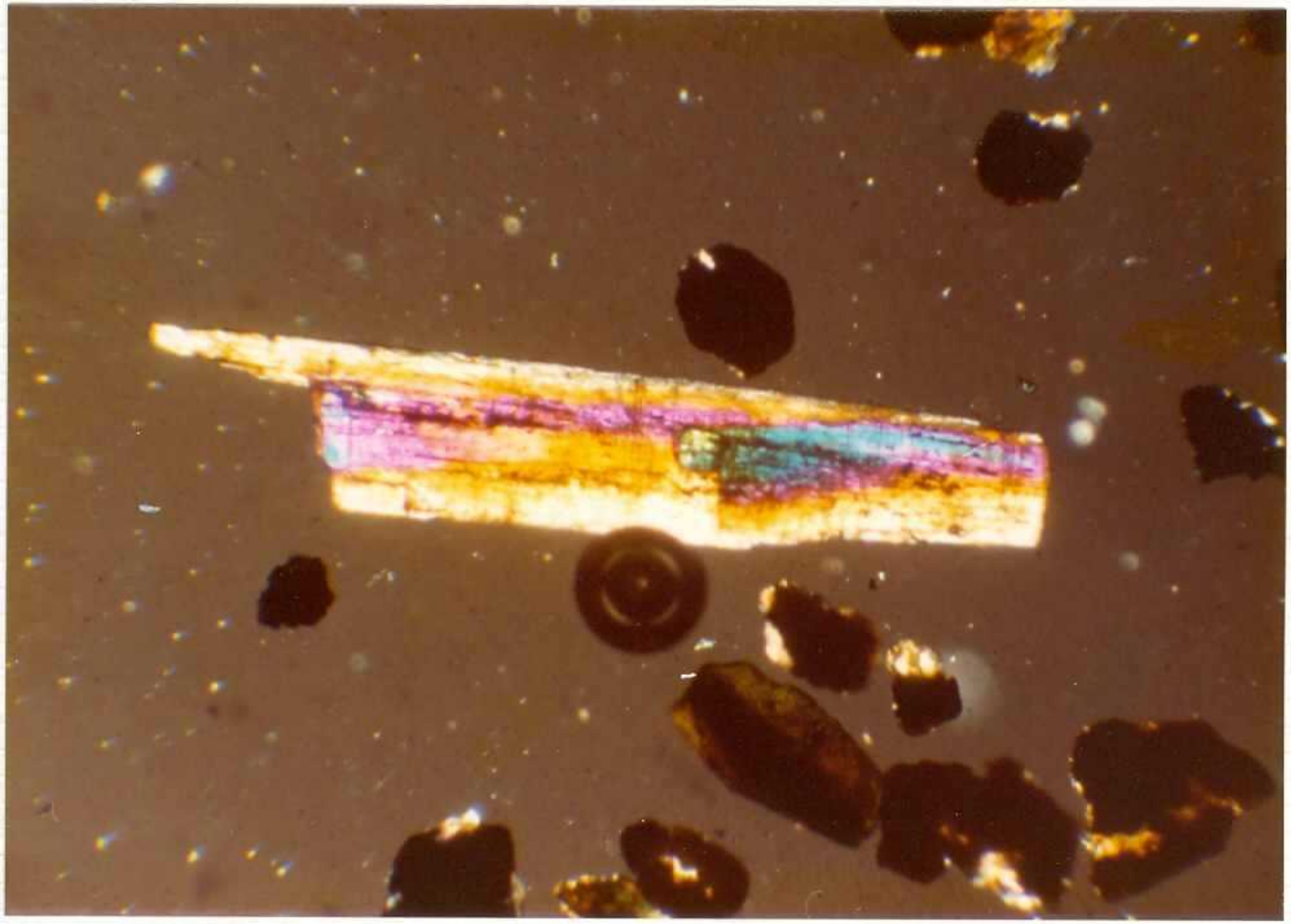


1112 IB MA 3203

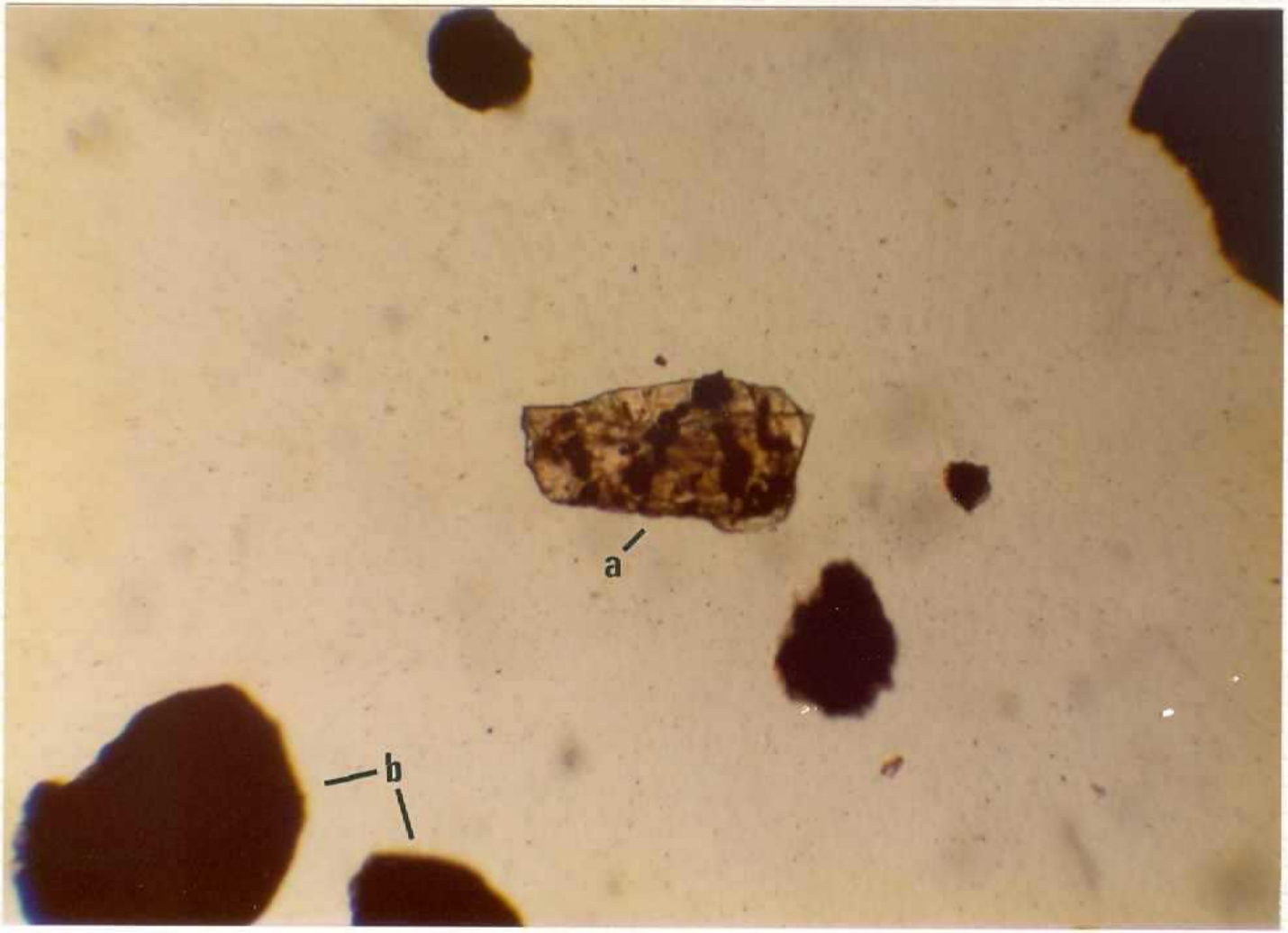
Paronamica del valle en donde se observa perfectamente en último término la cuarcita caolinigrense (Formación Culebra) O_{12}^{2}. En primer plano "Ollo de Sapo" de facies gruesa PC-CA ζ y depósitos pliocuaternarios T_{2}^{B} - Q_{1}



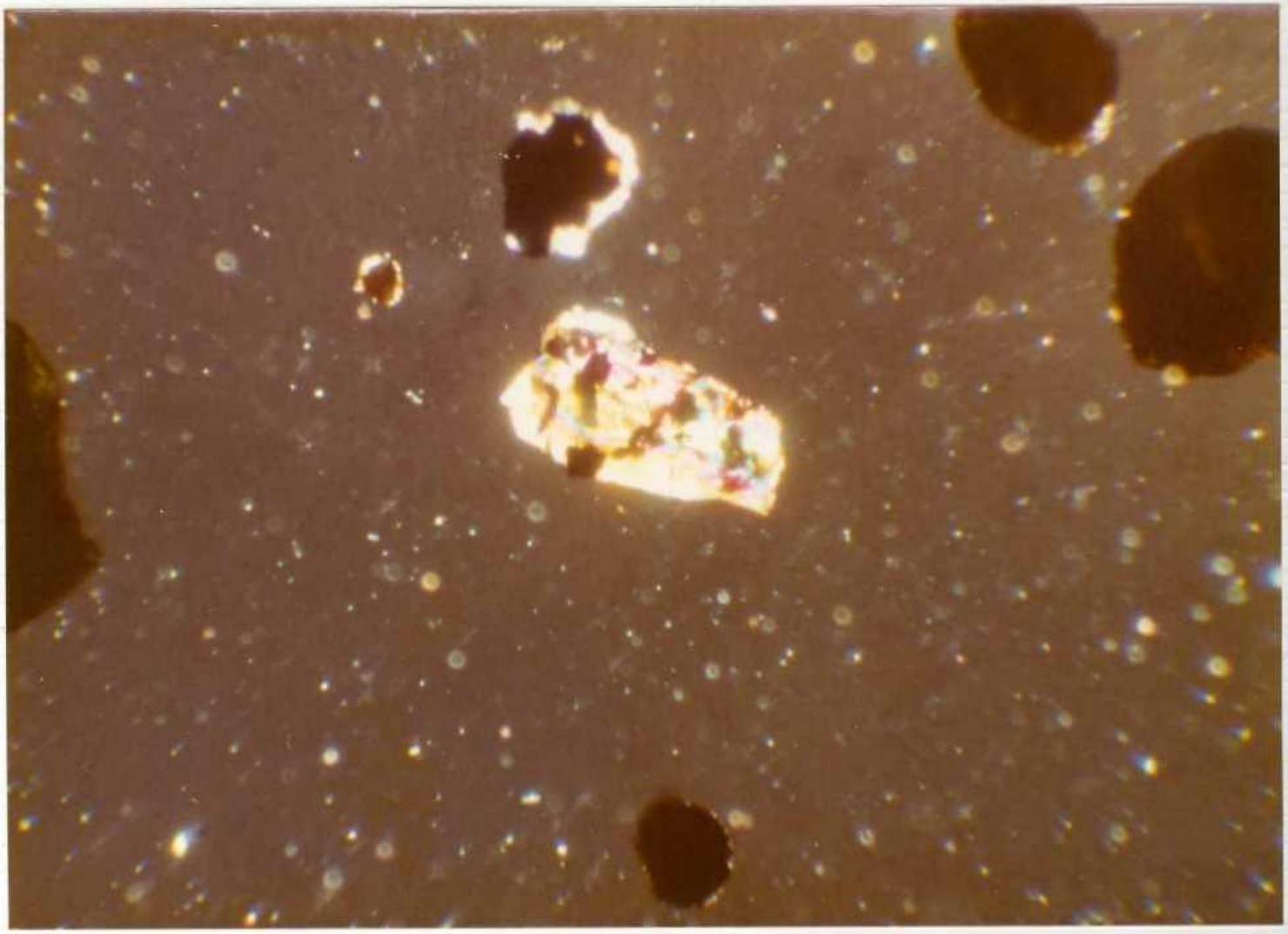
11-12-IB-MA-2005.- a) Distena. b) Opacos. (L.N). -- 10 oc. x 5 ob.



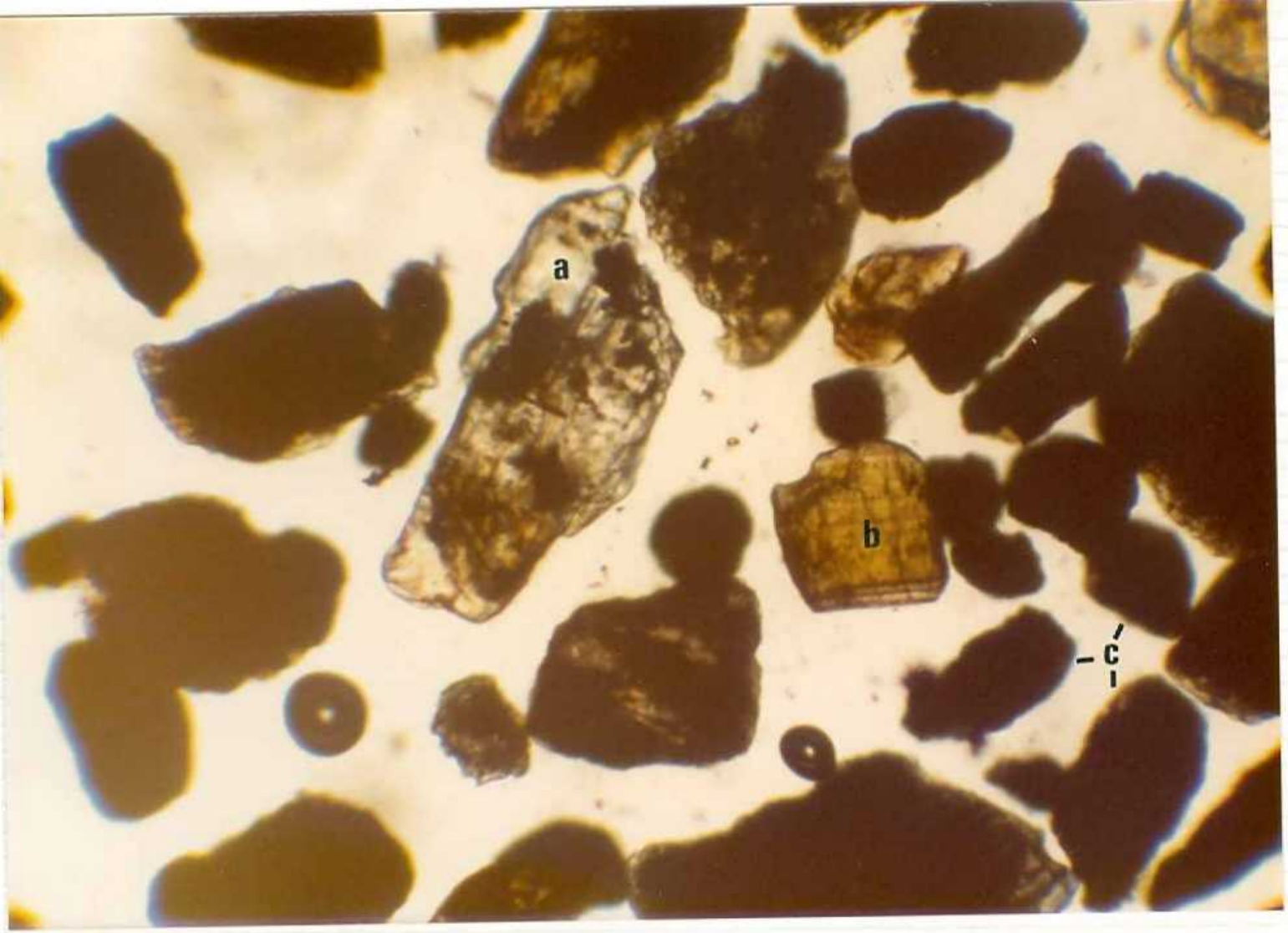
11-12-IB-MA-2005.- Distena presentando los típicos colores de birrefrigencia (L.P). 10 oc. x 5 ob.



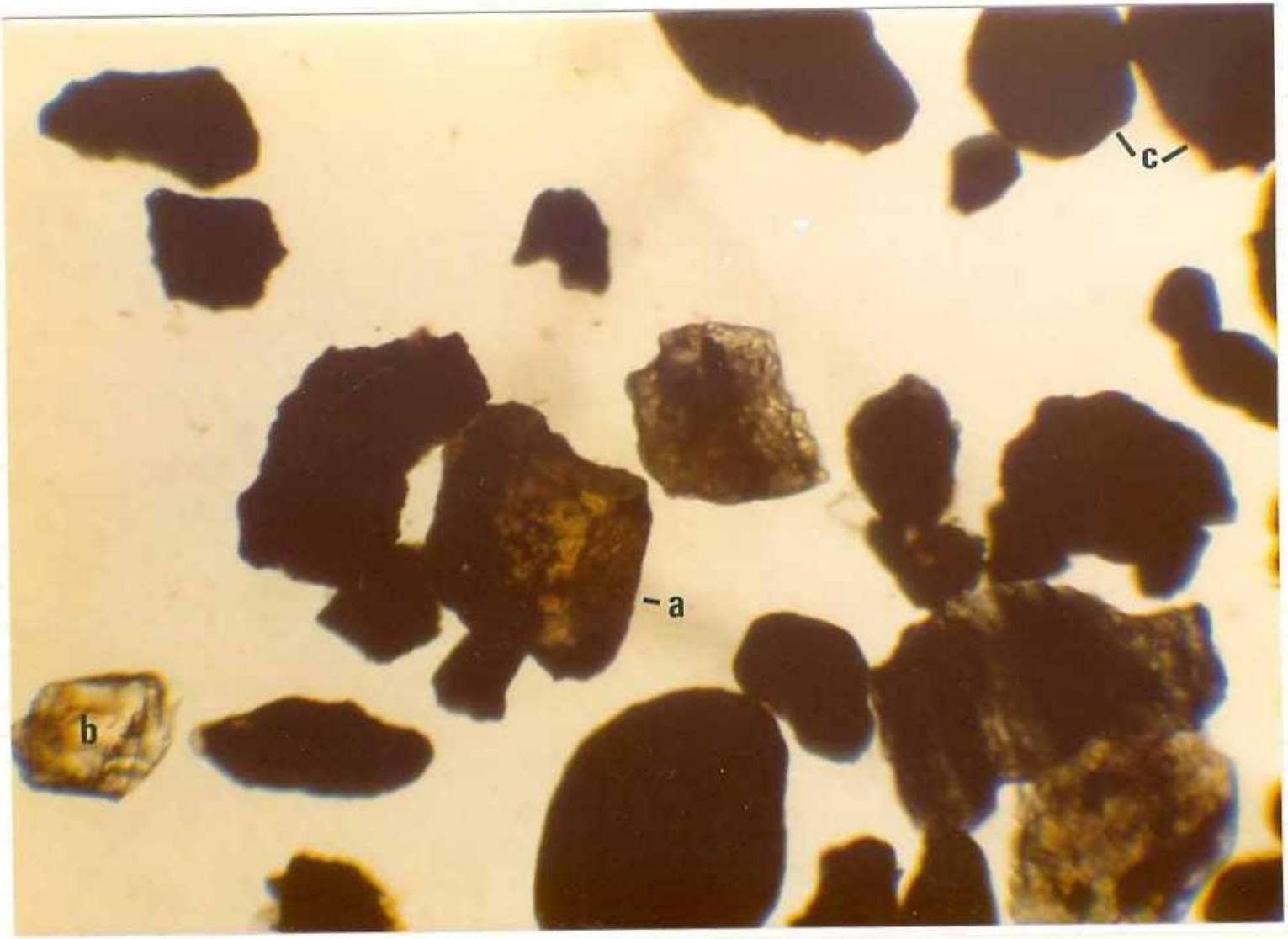
11-12-IB-MA-2011.- a) Andalucita con inclusiones opacas.
b) Opacos. (L.N). 10 oc. x 5 ob.



11-12-IB-MA-2011.- Idem con luz polarizada. (L.P). - 10 oc. x 5 ob.



11-12-IB-MA-2013.- a) Andalucita con inclusiones opa-- cas. b) Turmalina. c) Opacos. -- (L.N). 10 oc. x 5 ob.



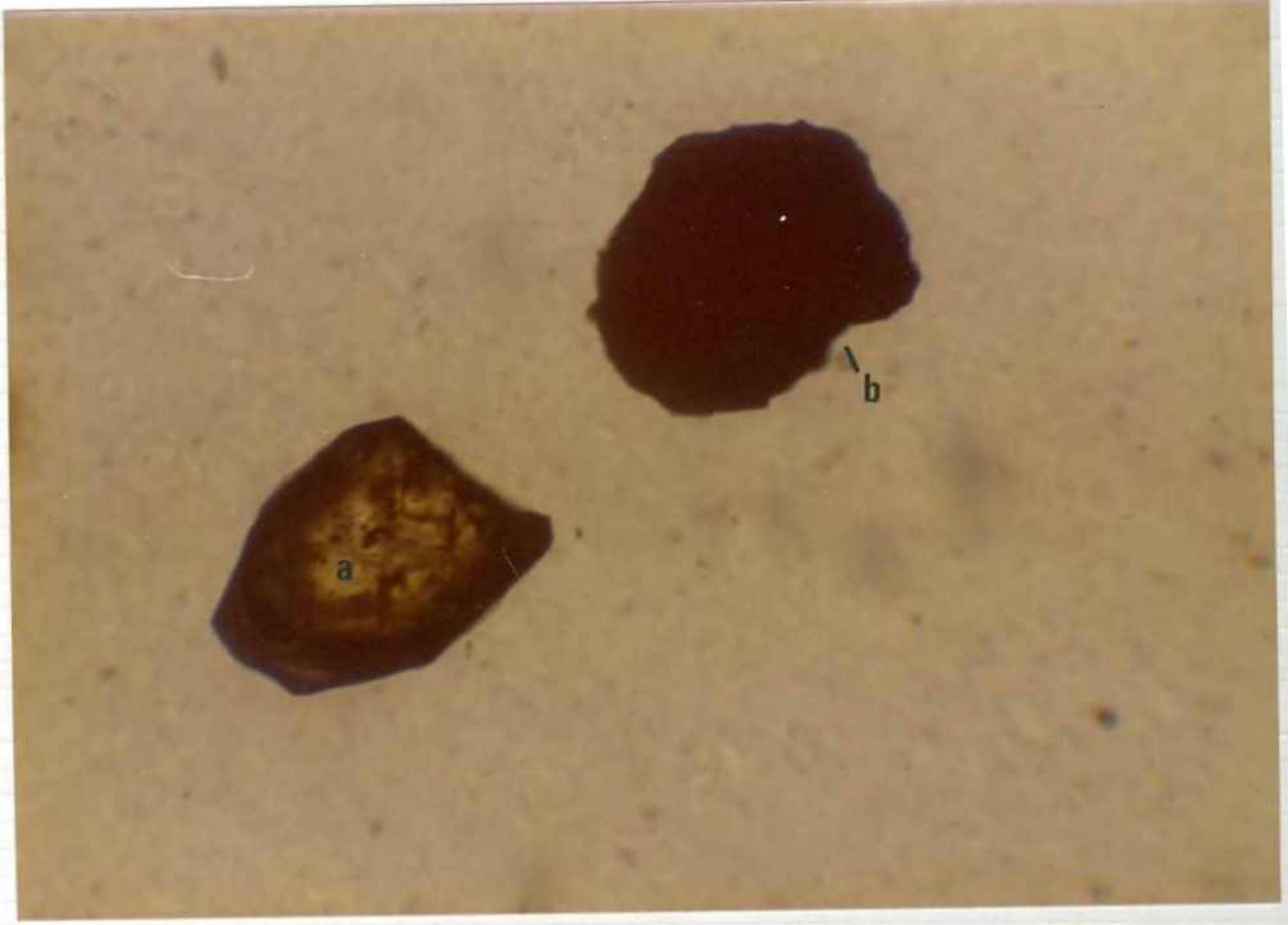
11-12-IB-MA-2013.- a) Estaurolita. b) Andalucita. c) Opacos. (L.N). 10 oc. x 5 ob.



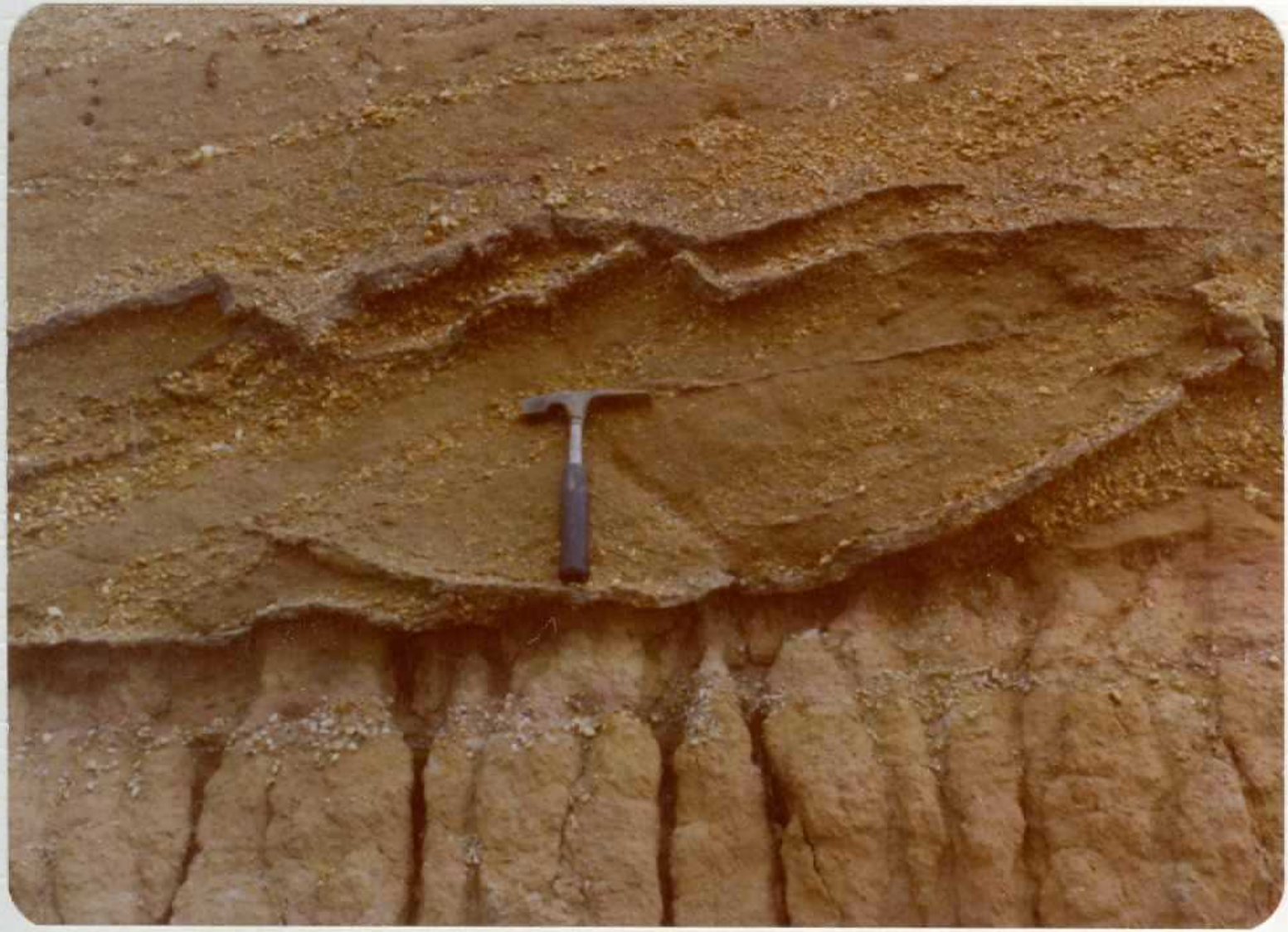
11-12-IB-MA-2015.- a) Andalucita con intenso color rosa. b) Opacos. (L.N). 10 oc. x - 5 ob.



11-12-IB-MA-2032.- a) Granate. b) Opacos. (L.N). 10 oc. x 10 ob.



11-12-IB-MA-2033.- a) Circón. b) Opacos. (L.N). 10 oc. x 10 ob.



1112 IB MA 2040

Costras genuginosas en el nivel de terraza Q_1T_1. En su parte interior depósitos terciarios pertenecientes a las facies conglomeráticas)cº



1112 IB MA 2043

Nivel de terrza Q_1T_3 siendo el escalón de la parte central de la foto correspondiente a la terraza Q_1T_1



1112 IB MA 2042

Vista de los minerales de arrasamiento.

En primer plano estaría el $Q_1 T_2$



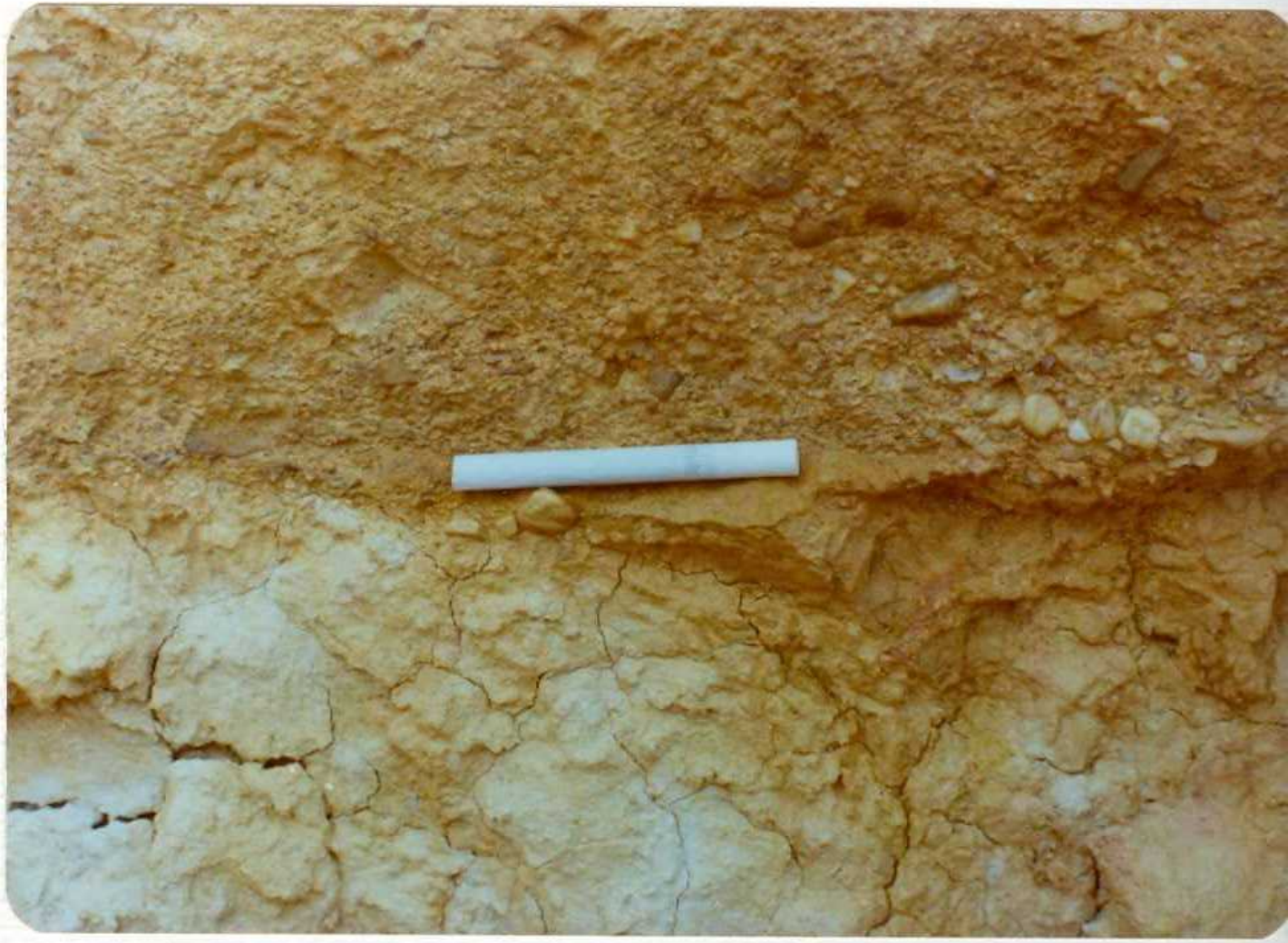
1112 IB MA 2044

Areniscas y conglomerados pertenecientes al nivel Q_1T_3



1112 IB MA 2045

Vista general del nivel Q_1T_4 y al fondo a la izquierda el nivel Q_1 T_3



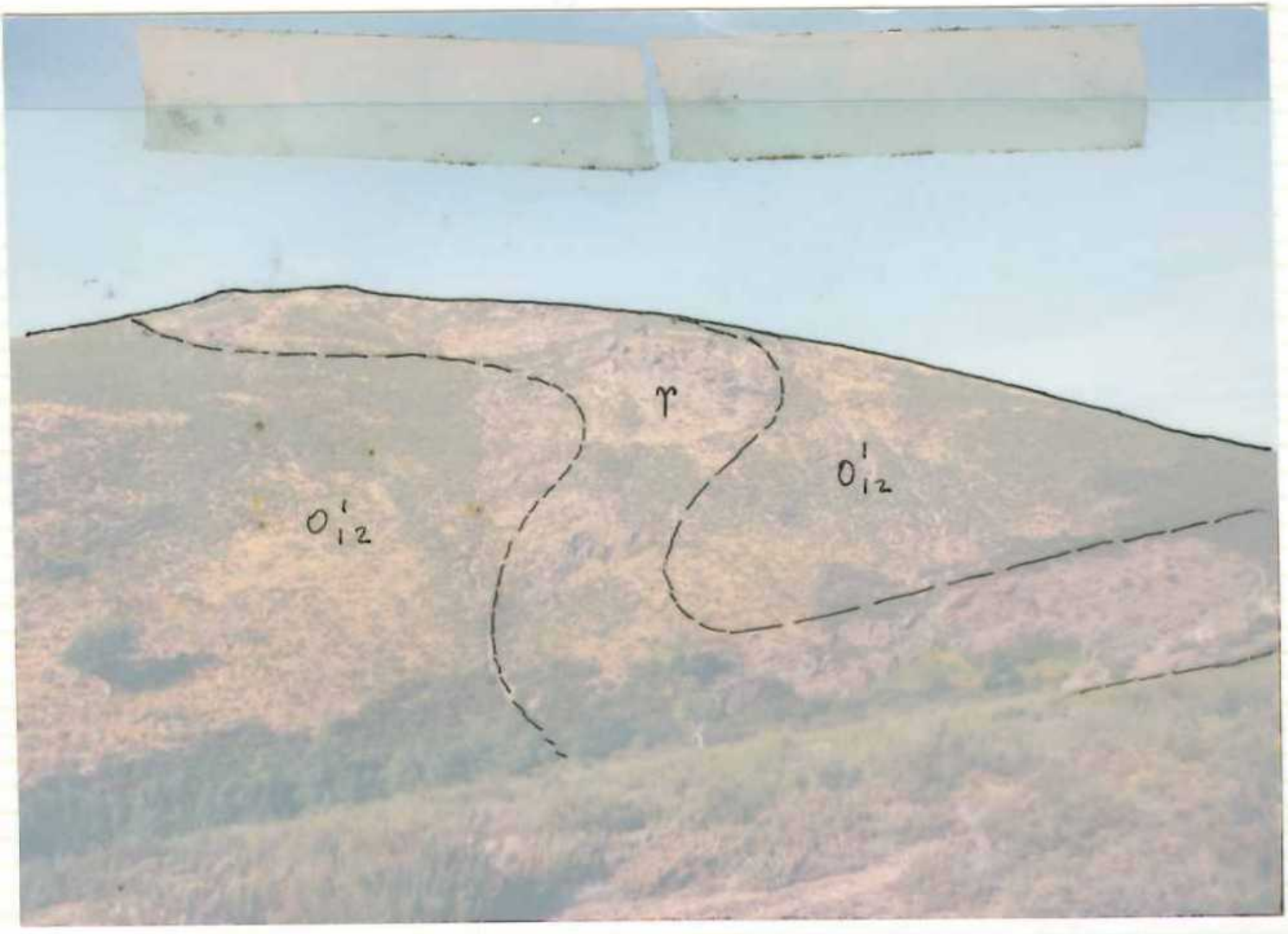
1112 IB MA 2046

Detalle del contacto del nivel Q_1T_4 con la facies del terciario $\left(\begin{smallmatrix}TBc\text{-}Bc1\\c11\text{-}C12\end{smallmatrix}\right)$



1112 IB MA 2047

Detalle de la terraza Q_1T_4



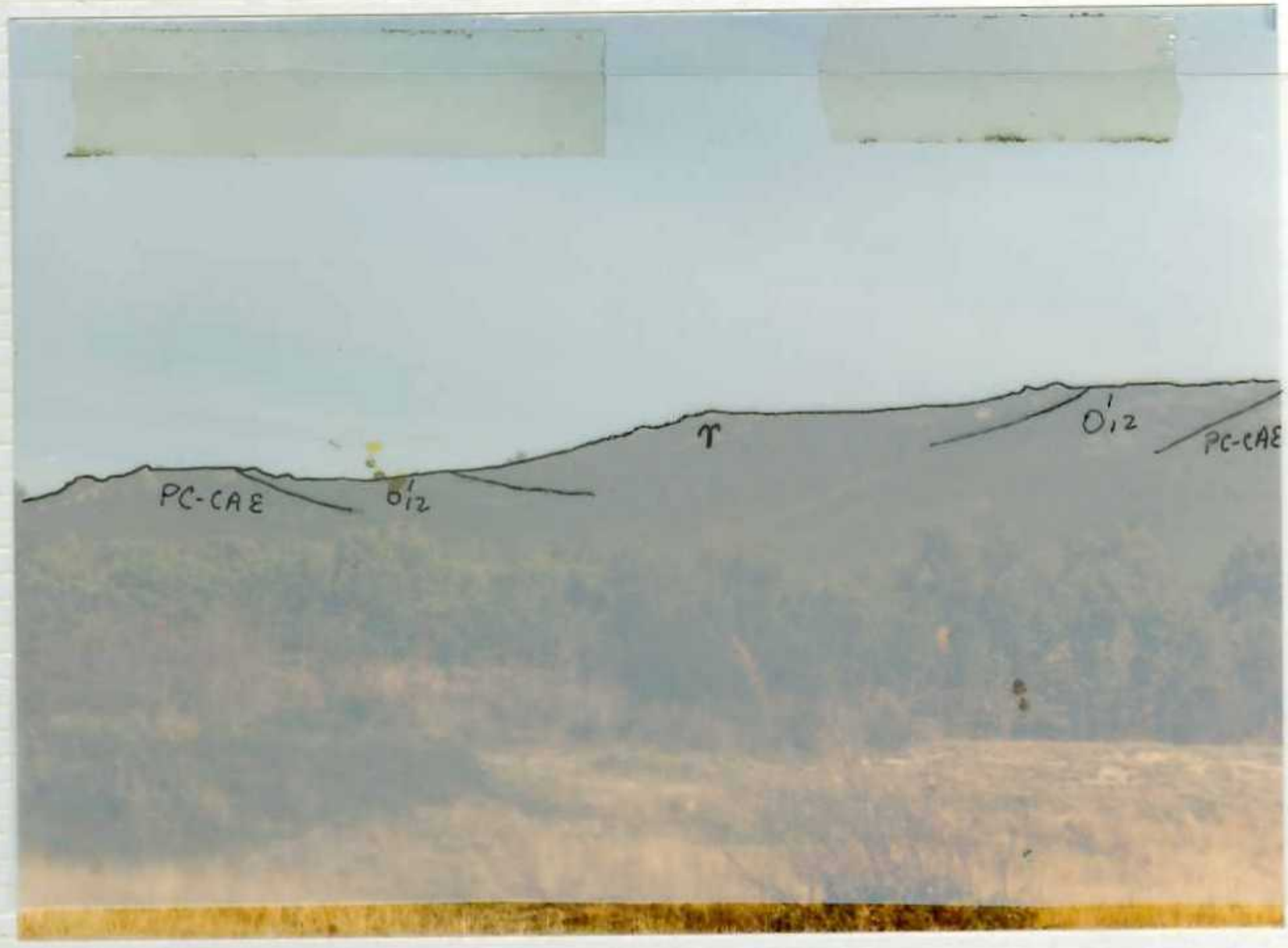
1112 IB MA 3193

Pliegue de escala meso-macroscopica de probable fase II que dobla las cuarcitas con crucianas γ en el camino de Muelas de los Caballeros a Vega del Castillo



1112 IB MA 3193

Pliegue de escala meso-macroscopica de probable fase II que dobla las cuarcitas con crucianas γ en el camino de Muelas de los Caballeros a Vega del Castillo



1112 IB MA 3194

Panoramica de la Peña Caballo con un sincli
nal de cuarcitas con cruciana γ en la carretera
de Palacios de Sanabria a Castrocontrigo.



1112 IB MA 3194

Panoramica de la Peña Caballo con un sincli
nal de cuarcitas con cruciana γ en la carretera
de Palacios de Sanabria a Castrocontrigo.



1112 IB MA 3195

Estratificación cruzada en la banda de cuarcitas con cruciana (T) Cº de Muelas de los Caballeros a Vega del Castillo.



1112 IB MA 3196

Contacto discordante de una rraña T_2^B - Q_1 con el "Ollo de Sapo" de facies mina PC-CAε Ctera de Palacios de Sanabria a Castrocontrigo.



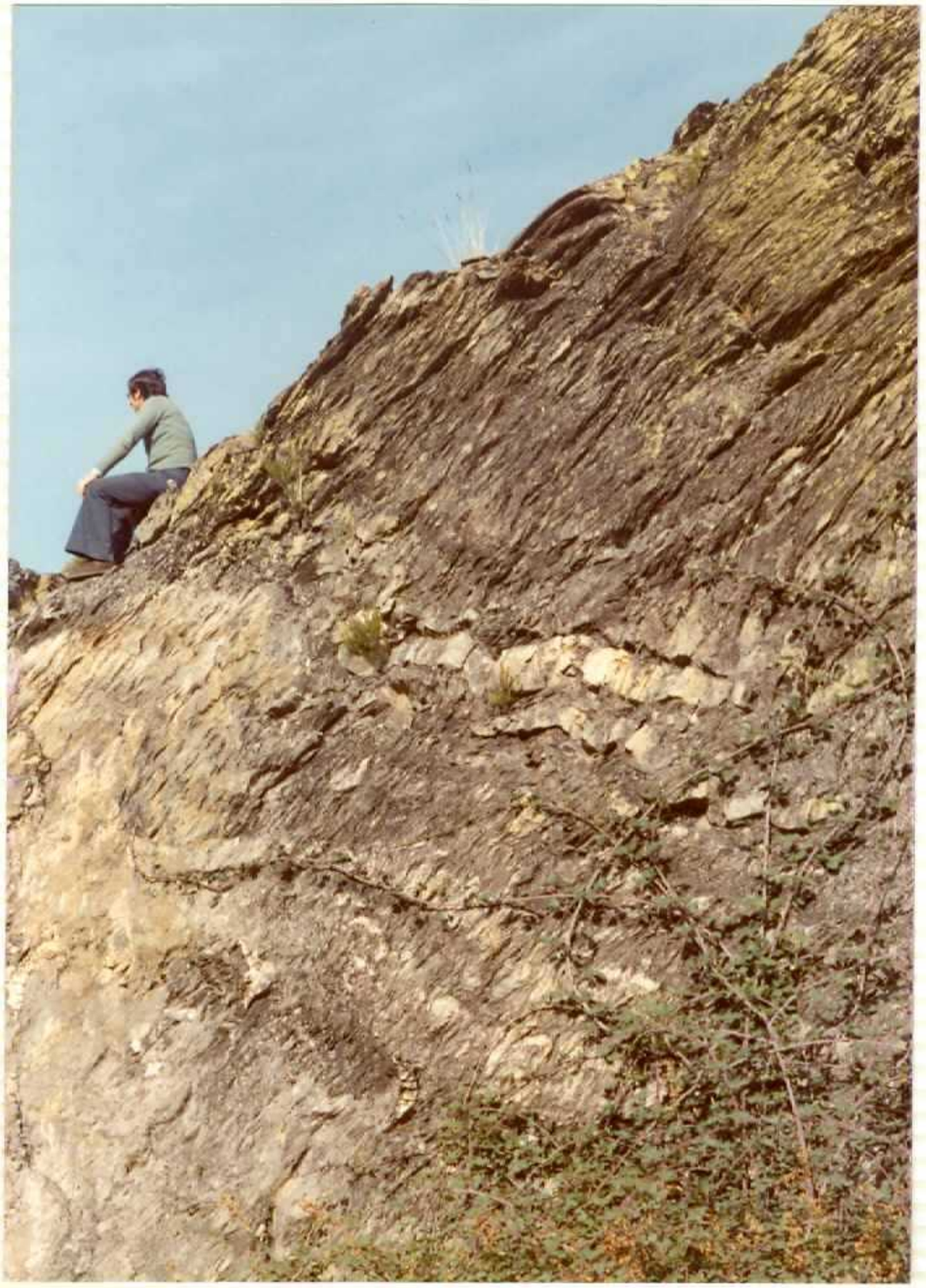
1112 IB MA 3197

Pliegue de probable fase IV que produce una esquistosidad de crenulación en las filitas O_{12} S_3 que buza ligeramente al Norte Cº de Muelas de los Caballeros a Vega del Castillo.



1112 IB MA 3198

Ollo de Sapo de grano fino facies mixtas PC-CAε (detalle) Ctera de Palacios de Sanabria a Castro contrigo.



1112 IB MA 3199

Esquistosidad principal S_2 perpendicular a la estratificación S_o en filitas O_{12}^{1} Cº de Muelas de los Caballeros a Vega del Castillo



1112 IB MA 3200

Esquistosidad prindipal S_2 axial a pliegues de fase II en filitas O_{12}^{1} . Cº de Muelas de los Caballeros a Vega del Castillo.



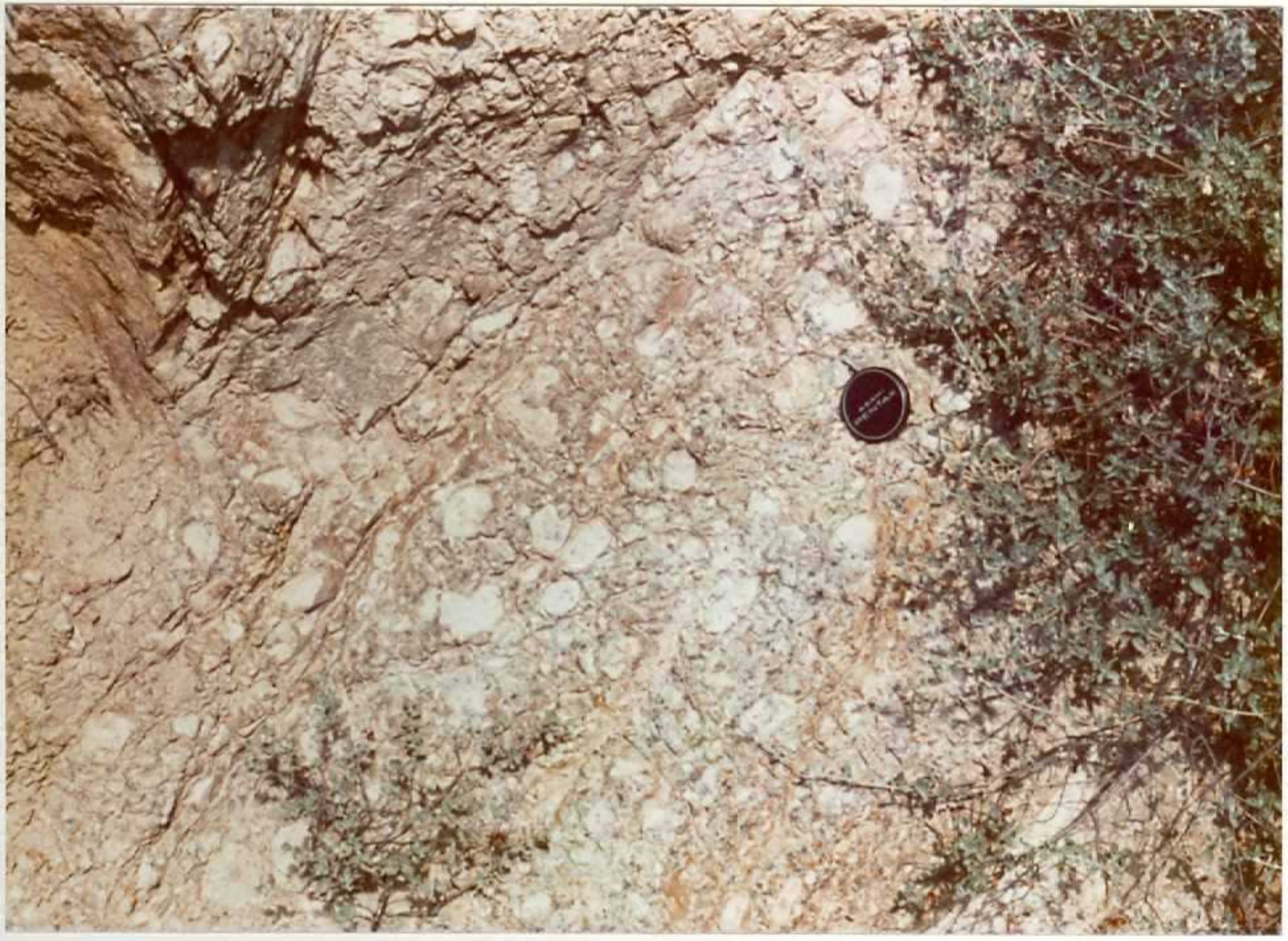
1112 IB MA 3201

Panoramica de unos depósitos pliocuaternarios T_2^B - Q_1. Al fondo la cuarcita arenosicana O_{12}^2 Cº de Palacios de Sanabria a Carbajalinos



1112 IB MA 3202

Llanura aluvial (QAE) cultivada perteneciente al río Negro a la altura de Rioconejos



111 IB MA 3204

Facues de "Ollo de Sapo" de megacristales PC-CA a la entrada de antar de Rioconejos.

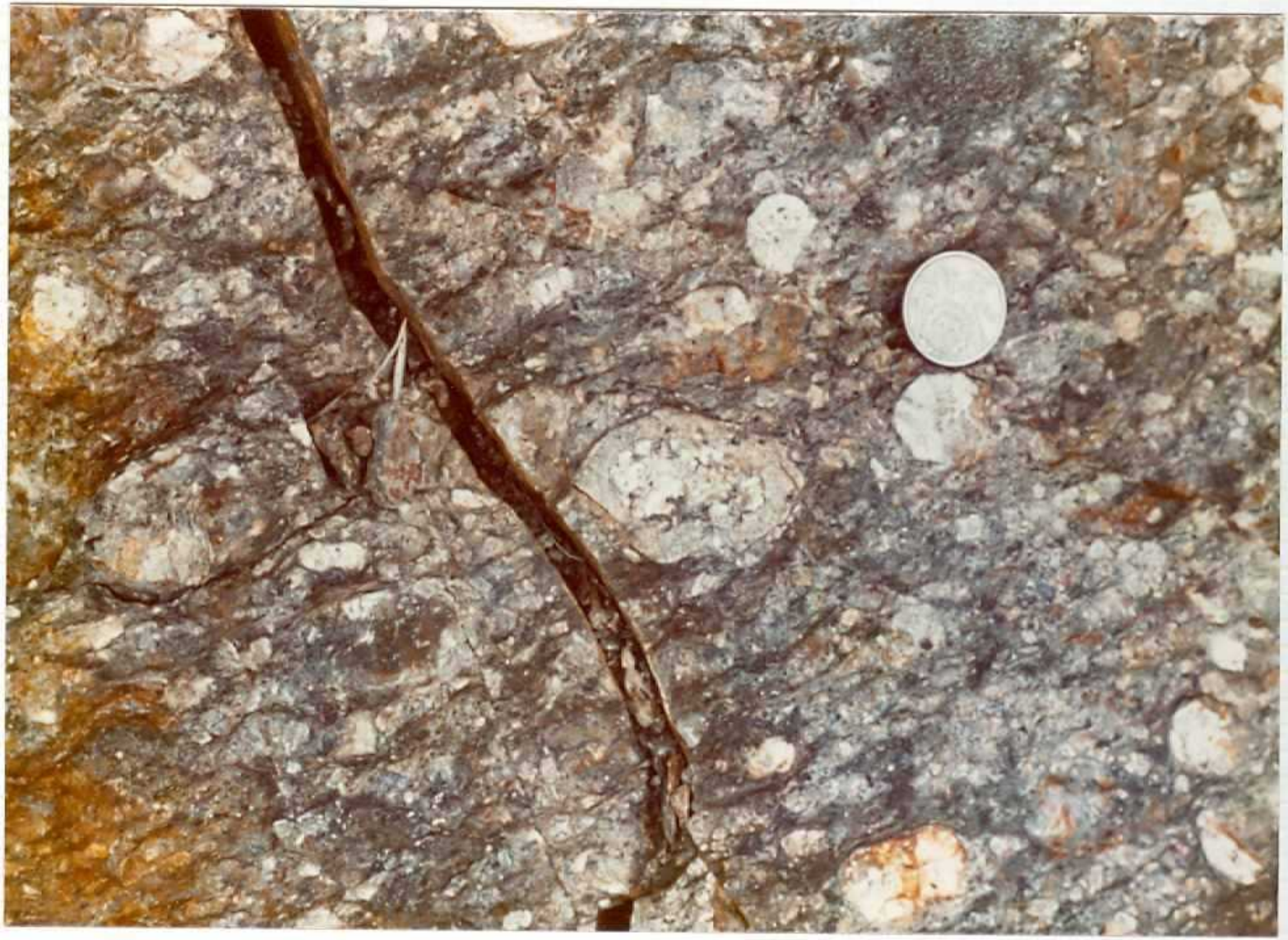


1112 IB MA 3205

Aspecto del "Ollo de Sapo" de megacristales

PC-CA en cortes frescos de la carretera nacional

Km 361



1112 IB MA 3206

Otro aspecto del "Ollo de Sapo" de megacristales PC-CA en el que se observa claramente moteados biotiticos.



1112 IB MA 3207

Afloramientos del "Ollo de Sapo" de megacristales PC-CAζ en en la parte central de la Hoja se observa un modelado en ferrocal típico de rocas graníticas



1112 IB MA 3208

Otro aspecto de los afloramientos del"Ollo de Sapo" PC-CAζ de la Hoja en donde se distinguen perfectamente algunos bolos o lajas una superficie deprimida recubierta por eluviones. Al fondo cresterias cuarcíticas de la formación - Culebra (Arenig) O_{12}^{2}